

몰리브덴(V)의 트리에틸렌테트라아민 착물합성과 그 성질

金昌洙[†] · 吳相午^{*}

대구대학교 사범대학 화학과

^{*}경북대학교 자연과학대학 화학과

(1982. 1. 6 접수)

Preparation and Characterization of Triethylenetetraamine Complexes of Molybdenum(V)

Chang-Su Kim[†] and Sang-Oh Oh^{*}

Department of Chemistry, College of Education, Daegu University, Daegu 634, Korea

^{*}Department of Chemistry, Kyungpook National University, Daegu 635, Korea

(Received Jan. 5, 1982)

요 약. $\text{TrienH}_4(\text{MoOCl}_5)_2$, $(\text{MoOCl}_3)_2(\text{trien})$ 및 $\text{Mo}_2\text{O}_4\text{Cl}_2(\text{trien})$ 등의 몰리브덴(V)의 트리에틸렌테트라아민착물을 합성하고 이들 착물의 화학적, 자기적 및 분광학적 성질을 조사하였다. $\text{TrienH}_4(\text{MoOCl}_5)_2$ 는 파란색 결정으로 무수에탄올에서 탈염화수소시켜 비전해질인 상자성착물 $(\text{MoOCl}_3)_2(\text{trien})$ 을 얻고 또한 $\text{TrienH}_4(\text{MoOCl}_5)_2$ 를 가수분해시켜 갈색의 비전해질인 반자성착물 $\text{Mo}_2\text{O}_4\text{Cl}_2(\text{trien})$ 을 얻었다.

ABSTRACT. The new molybdenum(V)-triethylenetetraamine complexes such as $\text{TrienH}_4(\text{MoOCl}_5)_2$, $(\text{MoOCl}_3)_2(\text{trien})$, and $\text{Mo}_2\text{O}_4\text{Cl}_2(\text{trien})$ have been prepared, and the chemical, magnetic and spectroscopic properties of the complexes have been investigated. $\text{TrienH}_4(\text{MoOCl}_5)_2$ has been isolated as green crystal and from this salt the nonelectrolytic and paramagnetic complexes, $(\text{MoOCl}_3)_2(\text{trien})$ have been prepared by evolution of hydrogen chloride in anhydrous ethanol. Hydrolysis of triethylenetetraammonium oxopentachloromolybdate(V) yielded the nonelectrolytic and diamagnetic complex, $\text{Mo}_2\text{O}_4\text{Cl}_2(\text{trien})$ as brown solid.

1. 서 론

몰리브덴(VI)의 여러자리 아민착물은 어느 정도 알려져 있으나 보다 낮은 산화상태의 이들 아민착물은 거의 알려져 있지 않다. 산화상태가 +6인 몰리브덴의 에틸렌디아민(en), 디에틸렌트리아민(dien) 및 트리에틸렌테트라아민(trien) 착물합성¹과 이들 착물에 대해서는 라만스펙트럼² 및 X-ray 연구³에 의하여 그 구조가 밝혀졌다. 염화몰리브덴(V)의 트리에틸아민 및 트리에틸아민등의 1:1 부가생성물에 대한 여러가지 성질이 알려졌으며⁴ 산화상태가 영(0)인 $\text{Mo}(\text{CO})_3(\text{dien})$ 의 합성과 이 착물의 전기화학적 및 자기

적 성질이 보고되었다^{5~8}.

본 연구에서는 새로운 여러가지 몰리브덴(V)의 트리에틸렌테트라아민착물을 합성하고 이들 착물의 자기적 및 분광학적 성질을 조사하였다.

2. 실험

시 약

합성에 사용된 시약은 특급 및 일급시약을 정제하지 않고 그대로 사용하였으며 전도도측정에 사용된 dimethylformamide(DMF)는 문헌⁹에 따라 재정제하여 사용하였다.

착물의 합성

$\text{TrienH}_4(\text{MoOCl}_5)_2$. MoO_3 2g을 진한 염산

15 ml 에 녹인 다음 요오드산 2 ml 를 가한다. 이때 생성된 요오드를 날려보낸 다음 얻은 용액이 초록색으로 될 때까지 최소량의 염산을 넣고 트리에틸렌테트라아민을 가하면 초록색의 결정이 생성된다. 이 착물을 거르고 진한 염산으로 씻은 다음 진공건조시켰다.

(MoOCl₃)₂(trien). 5 g 의 TrienH₄(MoOCl₃)₂ 을 질소기류속에서 15 ml 의 무수에탄올과 환류시키면 노란갈색의 (MoOCl₃)₂(trien) 을 얻을 수 있다. 이 착물을 거르고 무수에탄올로 여러번 씻은 다음 진공건조시켰다. 이 착물은 물, 알코올 및 아세톤 등의 용매에 녹지 않았다.

Mo₂O₄Cl₂(trien). 옥소오클로로몰리브덴(V) 산 트리에틸렌테트라아민모늄염 5 g 에 물 15 ml 을 가하고 질소기류속에서 환류시키면 갈색침전물이 생성되는 데 이 착물을 거른 다음 진공건조시켰다. 이 착물은 물, 알코올 및 아세톤 등의 용매에 거의 녹지 않았다.

TrienH₄[Mo₂O₄(NCS)₆]. 물 20 ml 에 KSCN 10 g 을 녹인 용액과 옥소오클로로몰리브덴(V) 산 트리에틸렌테트라아민모늄염 8 g 을 서로 섞으면 갈색의 착물이 되는데 이 침전물을 거른 다음 진공건조시켰다. 이 착물은 알코올 및 아세톤에 소량 녹는다.

Mo₂O₄(NCS)₂(trien). MoO₂(SCN)₃·2C₅H₅N 을 무수알코올에 녹인 용액에 10 % 의 trien 무수알코올용액을 저어가면서 서서히 가하면 빨간색의 침전물이 생성된다. 이 화합물을 거른 다음 알코올로 씻어서 진공건조시켰다. 이 착물은 물, 알코올 및 아세톤 등에 녹지 않는다.

착물의 분석

몰리브덴은 착물을 1 : 1 의 질산과 황산의 혼

합액으로 분해시킨 다음 PbMoO₄ 로 침전시켜 무게분석 하였다. 티오시안산이온의 함량은 분해된 착물에 브롬수를 가하여 SCN⁻ 를 황산이온으로 산화시킨 다음 BaSO₄ 로 침전시켜 그 무게를 달

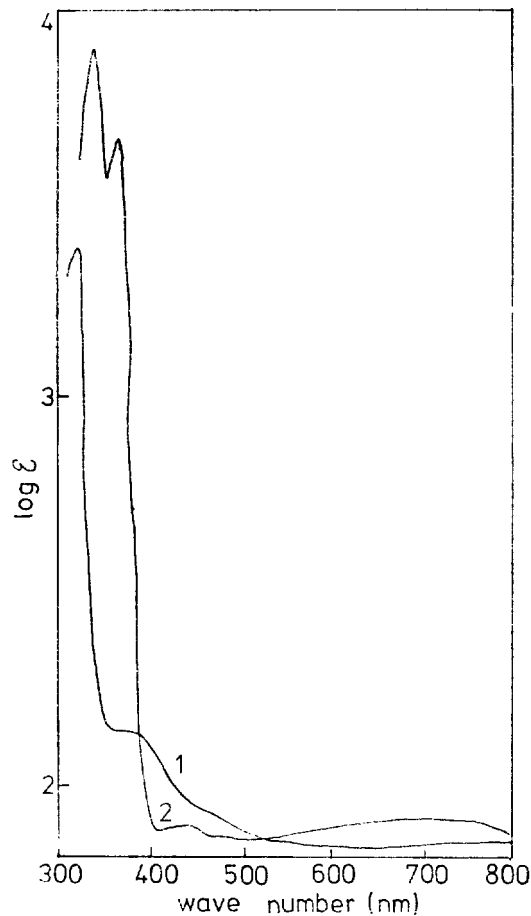


Fig. 1 Electronic spectra of TrienH₄(MoOCl₃)₂ in solvents. 1: in water and 2: in 12 M HCl.

Table 1. Analytical data of the complexes.

Compound	Calcd. (%)					Found (%)					μ_{eff}
	Mo	C	H	N	Cl, S	Mo	C	H	N	Cl, S	
TrienH ₄ (MoOCl ₃) ₂ ·H ₂ O	25.70	9.65	3.21	7.51	47.48	25.60	9.77	3.28	7.40	47.57	1.69
(MoOCl ₃) ₂ (trien)	32.92	12.36	3.09	9.62	36.59	32.83	12.48	2.87	9.70	36.66	1.71
Mo ₂ O ₄ Cl ₂ (trien)·2H ₂ O	37.70	14.16	4.32	11.01	13.93	37.61	14.27	4.24	10.91	14.02	dia.
TrienH ₄ [Mo ₂ O ₄ (NCS) ₆]·H ₂ O	24.83	18.65	3.11	18.13	24.90	24.92	18.67	3.04	18.16	24.81	dia.
Mo ₂ O ₄ (NCS) ₂ (trien)·H ₂ O	35.78	17.92	3.73	15.67	11.96	35.89	17.83	3.63	16.60	12.06	dia.

아 결정하였다¹².

탄소, 수소 및 질소는 Hewlett Packard 185B 탄소 수소 질소 분석기를 이용하여 분석하였다.

이들 착물의 분석결과는 Table 1과 같으며 실험값과 계산값 사이에 좋은 일치율을 보여 주었다.

물리적 성질의 측정

자화율은 전보¹³와 같은 방법으로 측정하였으며 착물의 물전도도는 착물을 DMF에 녹인 다음 YSI 모델 31 전도도브리지틀 사용하여 측정하였다.

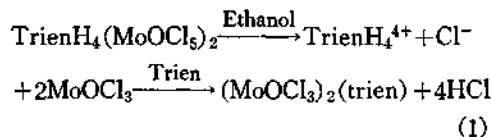
적외선스펙트럼은 Hitachi 260-30 적외선분광광도계를 이용하여 KBr 원판법으로 얻었으며 reflectance 스펙트럼은 Hitachi 200-20 분광광도계를 사용하여 얻었다.

Table 2. Molar conductances for 0.002 M solution of the molybdenum complexes in dimethylformamide solvent at 25°C.

Compound	$\Lambda_m, \text{ohm}^{-1} \cdot \text{cm}^2 \cdot \text{mol}^{-1}$
$\text{TrienH}_4(\text{MoOCl}_5)_2$	165
$(\text{MoOCl}_3)_2(\text{trien})$	18
$\text{Mo}_2\text{O}_4\text{Cl}_2(\text{trien})$	12
$\text{TrienH}_4[\text{Mo}_2\text{O}_4(\text{NCS})_6]$	98
$\text{Mo}_2\text{O}_4(\text{NCS})_2(\text{trien})$	21

3. 결과 및 고찰

몰리브덴(V)의 진한 염산용액에 트리에틸렌테트라아민을 가하면 옥소오클로로몰리브덴산(V) 트리에틸렌테트라아민모늄염을 얻을 수 있다. 또한, 이 염을 무수에탄올 존재하에서 탈염화수소시키면 $(\text{MoOCl}_3)_2(\text{trien})$ 이 얻어지고 $\text{TrienH}_4(\text{MoOCl}_5)_2$ 에 진한 티오시안산암모늄용액을 가하면 $\text{TrienH}_4[\text{Mo}_2\text{O}_4(\text{NCS})_6]$ 가 얻어진다.



옥소오클로로몰리브덴(V) 산의 트리에틸렌테트라아민모늄을 제외한 다른 착물은 일주일간 방치하여도 흡수스펙트럼의 변화가 없었는데 이것은 이들 착물이 공기중에서 안정하기 때문으로 생각된다.

옥소오클로로몰리브덴(V) 산의 트리에틸렌테트라아민모늄의 염산용액과 수용액에서 각각 얻은 스펙트럼은 Fig. 1에서와 같이 상당한 차이가 나타남을 알 수 있는데 이것은 이 착물이 수용액에서 가수분해되어 서로 다른 화합물이 생성되기 때문이다.

Table 3. Infrared bands of the molybdenum(V) complexes.

Compound	Band, cm^{-1}
$\text{TrienH}_4(\text{MoOCl}_5)_2 \cdot \text{H}_2\text{O}$	495m 505m 730s 770m 800w 820w 905m 970vs 985w ; 1015m 1030m 1065m 1140s 1295w 1330w 1400w 1440w 1460s 1500m 1560m 1600s 2700sh 3000sb 3350s 3400s
$(\text{MoOCl}_3)_2(\text{trien})$	490s 550w 575w 600w 630w 660w 730vs 810m 970vs 1050m 1150s 1180w 1250w 1265s 1325m 1350s 1440sh 1470vs 1510w 1595vs 1700sh 1800sh 1850w 1870w 1890w 1970w 1990w 2400s 2550w 2650s 3000w 3150m 3350m
$\text{Mo}_2\text{O}_4\text{Cl}_2(\text{trien}) \cdot 2\text{H}_2\text{O}$	500w 740m 775w 820m 970vs 1020w 1055m 1295w 1350w 1410w 1465w 1515w 1530m 1580w 1610s 2350w 2450s 2670s 2955m 3400s
$\text{TrienH}_4[\text{Mo}_2\text{O}_4(\text{NCS})_6] \cdot \text{H}_2\text{O}$	480sb 490s 610w 620w 750s 825m 855m 890w 950vs 1010m 1040m 1070m 1150w 1170w 1250w 1290w 1315w 1450s 1500w 1510m 1520m 1575w 1595s 2060vs 2350w 2870w 3100s 3200s 3400s
$\text{Mo}_2\text{O}_4(\text{NCS})_2(\text{trien}) \cdot \text{H}_2\text{O}$	450m 490s 520w 585w 675w 695w 750s 815w 830m 900w 950vs 1045s 1060s 1090m 1105w 1140s 1190m 1245m 1275m 1310w 1350w 1380w 1420s 1450s 1575s 2100vs 2350w 2800w 2870m 3000w 3130s 3200s 3250s 3450sb

w, weak; m, medium; s, strong; vs, very strong; b, broad.

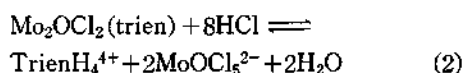
Table 4. Characteristic frequencis of tiethylenetetraamine complexes of molybdenum(V).

Compound	$\nu_{\text{Mo-O}}$	$\nu_{\text{Mo-O}}$	ν_{NH}	δ_{NH}	δ_{CH}	ν_{CN}	ν_{CS}	ν_{OH}
$\text{TrienH}_4(\text{MoOCl}_5) \cdot 2\text{H}_2\text{O}$	970	—	3350	1600	1440	—	—	3400
$(\text{MoOCl}_3)_2(\text{trien})$	970	—	3150	1595	1470	—	—	—
$\text{Mo}_2\text{O}_4\text{Cl}_2(\text{trien}) \cdot 2\text{H}_2\text{O}$	970	500, 740	2955	1610	1465	—	—	3400
$\text{TrienH}_4[\text{Mo}_2\text{O}_4(\text{NCS})_6] \cdot \text{H}_2\text{O}$	950	480, 750	3200	1595	1450	2060	825	3400
$\text{Mo}_2\text{O}_4(\text{NCS})_2(\text{trien}) \cdot \text{H}_2\text{O}$	950	490, 750	3200	1575	1420	2100	815	3450

Table 5. Reflectance spectra and assignments of the molybdenum(V) triethylenetetraamine complexes.

Compound	ν_{max} , $\text{cm}^{-1} \times 10^{-3}$	Intensity	Assignment
$\text{TrienH}_4(\text{MoOCl}_5)_2 \cdot \text{H}_2\text{O}$	14.29	Weak	${}^2B_2 \rightarrow {}^2E(I)$
	22.73	Medium	${}^2B_2 \rightarrow {}^2B_1$
	27.78	Strong	Charge transfer
$(\text{MoOCl}_3)_2(\text{trien})$	13.33	Weak	${}^2B_2 \rightarrow {}^2E(I)$
	20.83	Medium	${}^2B_2 \rightarrow {}^2B_1$
	31.27	Strong	Charge transfer
$\text{Mo}_2\text{O}_4\text{Cl}_2(\text{trien}) \cdot 2\text{H}_2\text{O}$	13.89	Weak	${}^2B_2 \rightarrow {}^2E(I)$
	20.45	Medium	${}^2B_2 \rightarrow {}^2B_1$
	31.75	Strong	Charge transfer
$\text{TrienH}_4[\text{Mo}_2\text{O}_4(\text{NCS})_6] \cdot \text{H}_2\text{O}$	13.70	Weak	${}^2B_2 \rightarrow {}^2E(I)$
	21.28	Medium	${}^2B_2 \rightarrow {}^2B_1$
	31.25	Strong	Charge transfer
$\text{Mo}_2\text{O}_4(\text{NCS})_2(\text{trien}) \cdot \text{H}_2\text{O}$	13.33	Weak	${}^2B_2 \rightarrow {}^2E(I)$
	25.00	Medium	${}^2B_2 \rightarrow {}^2B_1$
	30.30	Strong	Charge transfer

몰리브덴(V)의 트리에틸렌테트라아민착물을 진한 염산에 녹이면 초록색이 되는데 이것은 +5 산화상태의 몰리브덴착물에서만 볼 수 있는 MoOCl_5^{2-} 가 생성¹⁴되기 때문이다. 이러한 사실은 이들 착물의 진한 염산용액에서의 스펙트럼인 Fig. 1이 $\text{TrienH}_4(\text{MoOCl}_5)_2$ 의 가시선스펙트럼과 똑같은 것으로도 알 수 있다.



이들 몰리브덴(V)착물의 자기모멘트는

Table 1과 같다. 여기서 $\text{TrienH}_4[\text{MoOCl}_5]_2$ 와 $(\text{MoOCl}_3)_2(\text{trien})$ 의 자기모멘트는 $\mu_{\text{spin-only}}$

와 거의 같은 값을 가진 것으로 보아 단위체착물로 생각되나 이보다 훨씬 작은 값을 가진 다른 몰리브덴(V)착물은 이핵착물¹⁵을 알 수 있다.

DMF에서 이들 착물의 물전도도는 Table 2와 같다. 여기에서 $\text{TrienH}_4(\text{MoOCl}_5)_2$ 와 $\text{TrienH}_4[\text{Mo}_2\text{O}_4(\text{NCS})_6]$ 는 전해질 착물이고 다른 몰리브덴착물들은 아주 낮은 물전도도를 가진 것으로 보아 비전해질착물¹⁶임을 알 수 있다.

이들 착물의 적외선스펙트럼은 Table 3와 같으며 특성흡수띠에 대한 해석은 Table 4와 같다. 이들 착물의 몰리브덴과 말단산소와의 신축진동은 950과 970 cm^{-1} 에서 일어났고 몰리브덴과 브리지 산소간의 신축진동은 480~490 cm^{-1} 및 750 cm^{-1} 부근¹⁸에서 일어났다. CN신축진동¹⁹은 2,060~2,100 cm^{-1} 부근에서 일어났다. 다른 몰리브덴(V)-이소티오시아나토 착물의 CS 신축진동²⁰과 비슷한 위치인 815와 825 cm^{-1} 부근에서 일어난 것으로 보아 이들 착물은 Mo-NCS 결합착물임을 알 수 있다. 이들 착물에 있어서, 트리에틸렌테트라아민의 NH 신축진동은 2,955~3,350 cm^{-1} 부근에서, 굽힘진동은 1,575~1,590 cm^{-1} 부근에서 각각 일어났고, 킬레이트고리의 CH 굽힘진동은 1,420~1,610 cm^{-1} 부근에서 일어났다. 이들 착물의 분석결과와 신축진동이 3,400~3,450 cm^{-1} 부근에서 일어난 사실로부터 $(\text{MoOCl}_3)_2(\text{trien})$ 을 제외한 이들 착물은 격자수가 존재함¹⁴을 알 수 있다.

몰리브덴의 트리에틸렌테트라아민착물의 전자흡수스펙트럼 및 reflectance 스펙트럼과 이들 스펙트럼을 MoOCl_5^{2-} ²² 및 $\text{Mo}_2\text{O}_4(\text{ox})_2(\text{H}_2\text{O})_2^{2-}$ ²³의 스펙트럼분석결과에 따라 해석한 결과는

Table 5와 같다. 여기에서 ${}^2B_2 \rightarrow {}^2E(I)$ 및 ${}^2B_2 \rightarrow {}^2B_1$ 전이는 $13,300 \sim 14,290 \text{ cm}^{-1}$ 및 $20,450 \sim 25,000 \text{ cm}^{-1}$ 부근에서 각각 일어났으며 전하이동전이는 $27,780 \sim 31,750 \text{ cm}^{-1}$ 부근에서 일어났음을 알 수 있다. 그 이외의 결정장전이는 강한 전하이동전이와 겹쳐져서 관찰되지 않았다.

이들 착물의 분석결과와 몰리브덴의 산화수가 +5이고 자기모멘트 및 적외선스펙트럼의 분석결과에서 $\text{TrienH}_4(\text{MoOCl}_6)_2$ 및 $(\text{MoOCl}_3)_2$ (trien)은 상자성의 단위체착물임을 알 수 있다. 또한, $\text{Mo}_2\text{O}_4\text{Cl}_2(\text{trien})$, $\text{TrienH}_4[\text{Mo}_2\text{O}_4(\text{NCS})_6]$ 및 $\text{Mo}_2\text{O}_4(\text{NCS})_2(\text{trien})$ 은 각 몰리브덴원자에 말단산소와 몰리브덴과 몰리브덴원자사이에 두 산소가 브리지된 반자성의 이합체착물임을 알 수 있다.

인용문헌

1. W. F. Marzluff, *Inorg. Chem.*, **3**, 395 (1964).
2. R. S. Taylor, P. Gans, P. E. Knewles and A. G. Sykes, *J.C.S. Dalton*, **24** (1972).
3. F. A. Cotton and R. C. Elder, *Inorg. Chem.*, **3**, 398 (1964).
4. G. A. Edwards and G. W. A. Fowles, *J. Chem. Soc.*, **24** (1961).
5. E. W. Abel, M. A. Bennett and G. A. Wilkinson *J. Chem. Soc.*, 2323 (1959).
6. V. W. Hieber, K. Englert and K. Rieger, *Z. anorg. alleg. Chem.*, **300**, 295 (1959).
7. M. C. Haldar and H. K. Saha, *J. Indian Chem. Soc.*, **44**, 231 (1967).
8. R. D. Taylor, J. P. Street, M. Minelli and J. T. Spence, *Inorg. Chem.*, **17**, 3207 (1978).
9. A. B. Thomas and E. G. Rochow, *J. Amer. Chem. Soc.*, **79**, 1943 (1957).
10. H. K. Saha and M. C. Halder, *J. Inorg. Nucl. Chem.*, **34**, 3097 (1972).
11. N. H. Furman and C. O. Miller, *Inorg. Syn.*, Vol. 3, P. 160, L. F. Audrieth, Ed., McGraw-Hill, New York, U.S.A., 1950.
12. A. I. Vogel, "Textbook of Quantitative Inorganic Analysis," 4th Ed., P. 510, Longman, London, England, 1978.
13. S. O. Oh and C. S. Kim, *J. Kor. Chem. Soc.*, **25**, 177 (1991).
14. P. C. H. Mitchell, *Quart. Rev.*, **20**, 103 (1966).
15. S. M. Horner and S. Y. Tyree, Jr., *Inorg. Chem.*, **1**, 122 (1962).
16. D. J. Phillips and S. Y. Tyree, Jr., *J. Amer. Chem. Soc.*, **83**, 1806 (1961).
17. M. L. Larson and F. W. Moore, *Inorg. Chem.*, **5**, 801 (1966).
18. W. E. Newton, J. L. Corbin, D. C. Bravard, J. E. Searles and J. W. McDonald, *Inorg. Chem.*, **13**, 1101 (1974).
19. M. M. Chamberlain and J. C. Bailar, Jr., *J. Amer. Chem. Soc.*, **81**, 6412 (1959).
20. C. G. Barraclough, J. Lewis and R. S. Nyholm, *J. Chem. Soc.*, 3552 (1959).
21. D. A. Buckingham and D. Jones, *Inorg. Chem.*, **4**, 1387 (1965).
22. H. B. Gray and C. R. Hare, *Inorg. Chem.*, **1**, 363 (1962).
23. P. C. H. Mitchell, *J. Inorg. Nucl. Chem.*, **26**, 1967 (1964).